

УДК 538.37+517.97

## ПРОЕКТИРОВАНИЕ ГОФРИРОВАННЫХ ПЛАСТИН С ЭКСТРЕМАЛЬНЫМИ ЗНАЧЕНИЯМИ ЖЕСТКОСТЕЙ

А. Г. Колпаков

Сибирский государственный университет телекоммуникаций и информатики,  
630108 Новосибирск, Россия  
E-mail: algk@ngs.ru

Определены наибольшие (наименьшие) эффективные жесткости, которые может приобрести гофрированная пластина при изменении формы гофра.

Ключевые слова: гофрированные пластины, эффективные жесткости, задача проектирования.

DOI: 10.15372/PMTF20170314

**Введение.** Задача вычисления эффективных жесткостей гофрированных пластин исследовалась во многих работах (см. [1–9]). Наибольшее число задач решено для тонкостенных пластин.

Задачей, обратной задаче расчета эффективных жесткостей, является проектирование формы и топологии [10]. При наличии формул для расчета эффективных жесткостей можно использовать хорошо разработанные методы теории оптимального управления [11–13]. В данной работе определяются максимальные (минимальные) значения эффективных жесткостей для гофрированной пластины симметричной формы и определяется соответствующая форма гофра.

**1. Постановка задачи.** Для расчета эффективных характеристик пластины, ячейка периодичности которой представляет собой тонкостенную конструкцию, можно применять методы теории оболочек [14]. В данной работе для расчета эффективных жесткостей используются формулы, полученные в [2]. Результаты расчетов по этим формулам хорошо согласуются как с результатами расчетов по другим формулам, проведенных с использованием методов теории оболочек (см. [8]), так и с результатами численных расчетов, выполненных с использованием теории осреднения [9]. Кроме того, формулы в [2] являются наиболее простыми среди известных формул для расчета эффективных жесткостей.

На рис. 1 приведена схема гофрированной пластины. Период гофра равен  $2c$ , длина гофра на периоде равна  $2L$  ( $L \geq c$ ). Верхняя и нижняя полуволны гофра, так же как в [2], полагаются симметричными относительно срединной поверхности  $z = 0$ . Согласно [2] эффективные жесткости данной пластины на растяжение-сдвиг  $\bar{A}_{ij}$  и на изгиб-кручение  $\bar{D}_{ij}$  вычисляются по формулам

$$\begin{aligned} \bar{A}_{11} &= \frac{1}{I_1/A_{11} + I_2/D_{11}}, & \bar{A}_{12} &= \frac{A_{12}}{A_{11}} \bar{A}_{11}, \\ \bar{A}_{22} &= \frac{\bar{A}_{12}A_{12}}{A_{11}} + \frac{L}{c} \frac{A_{11}A_{12} - A_{12}^2}{A_{11}}, & \bar{A}_{66} &= \frac{c}{L} A_{66}; \end{aligned} \quad (1)$$

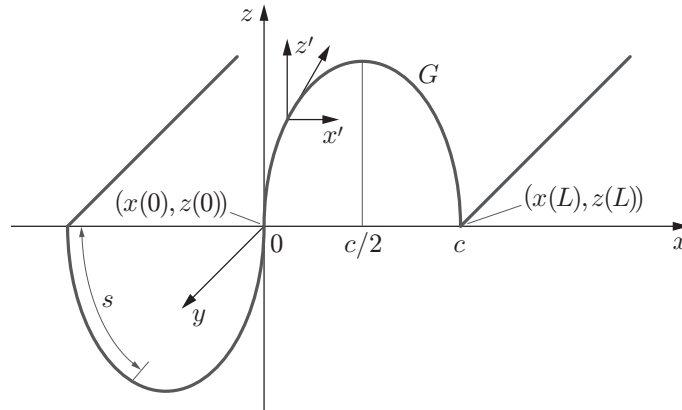


Рис. 1. Схема гофрированной пластины

$$\bar{D}_{11} = \frac{c}{L} D_{11}, \quad \bar{D}_{12} = \frac{D_{12}}{D_{11}} \bar{D}_{11}, \quad \bar{D}_{22} = I_2 A_{22} + I_1 D_{22}, \quad \bar{D}_{66} = \frac{c}{L} D_{66}, \quad (2)$$

где  $A_{ij}$ ,  $D_{ij}$  — жесткости на растяжение-сдвиг и изгиб-кручение плоской пластины, из которой изготовлена гофрированная пластина,

$$I_1 = \frac{1}{2c} \int_0^{2L} x'^2(s) ds, \quad I_2 = \frac{1}{2c} \int_0^{2L} z^2(s) ds, \quad (3)$$

$s$  — длина дуги вдоль волны гофра  $G = \{x(s), z(s): s \in [0, 2L]\}$  (см. рис. 1);  $(\cdot)' = d(\cdot)/ds$ . В силу симметрии пластины несимметричные эффективные жесткости равны нулю.

Задача формулируется следующим образом: какие максимальные (минимальные) значения эффективных жесткостей может приобрести гофрированная пластина за счет изменения формы волны гофра?

Сначала рассмотрим задачу при условии  $L/c = \text{const}$ . Решение задачи сводится к решению задачи о возможных значениях функционалов  $I_1$ ,  $I_2$ .

В [2] рассмотрены гофры, нижняя и верхняя волны которых одинаковы (см. рис. 1). Рассмотрим гофры, у которых обе части волны представительного гофра  $G$  (см. рис. 1) симметричны относительно оси  $x = c/2$ , в силу чего  $z(t) = z(c - t)$ . Для таких гофров (будем называть их полностью симметричными) можно рассматривать только одну полу-волну на интервале  $[0, c/2]$ , имеющую длину  $L/2$ . При этом функционалы (3) принимают вид

$$I_1 = \frac{2}{c} \int_0^{L/2} x'^2(s) ds, \quad I_2 = \frac{2}{c} \int_0^{L/2} z^2(s) ds. \quad (4)$$

Введем управляющую переменную  $u(s) = z'(s)$ . Из выражения  $z(t) = z(c - t)$  следует, что  $u(t) = -u(c - t)$ . Выполним замену переменных  $t = 2s/L$ . При значении  $s$ , изменяющемся в интервале от 0 до  $L/2$ , переменная  $t$  меняется в интервале от 0 до 1. При использовании переменной  $t = s/L$  связь  $u(s) = z'(s)$  принимает вид

$$z'(s) = Lu(t)/2, \quad (5)$$

а функционалы (4) — вид

$$I_1 = \frac{L}{c} \int_0^1 x'^2(t) dt, \quad I_2 = \frac{L^3}{2c} \int_0^1 z^2(t) dt. \quad (6)$$

Функции  $x(s)$  и  $z(s)$  удовлетворяют условиям

$$x(L) - x(0) = c; \quad (7)$$

$$x'^2(s) + z'^2(s) = 1. \quad (8)$$

Из (7), (8) следует

$$\int_0^{L/2} \sqrt{1 - u^2(s)} ds = \frac{c}{2}.$$

При использовании переменной  $t = 2s/L$  это равенство принимает вид

$$\int_0^1 \sqrt{1 - u^2(t)} dt = \frac{1}{L}. \quad (9)$$

В силу (8) имеет место неравенство

$$|u(t)| \leq 1. \quad (10)$$

Положим  $c = 1$ , что не ограничивает общности задачи. При  $c = 1$  в силу (8) функционал  $I_1$  в (6) можно представить в виде

$$I_1 = L \left( 1 - \int_0^1 u^2(t) dt \right). \quad (11)$$

Если длина волны гофра  $L$  фиксирована, то от формы гофра непосредственно зависят только жесткости  $\bar{A}_{11}$  и  $\bar{D}_{22}$ . Остальные жесткости в (1), (2) выражаются через  $c$ ,  $L$  или  $\bar{A}_{11}$ ,  $\bar{D}_{22}$ .

Если гофрированная пластина изготовлена из ортотропной пластины, то  $A_{11} = A_{11}$ ,  $D_{11} = D_{22}$  и имеет место равенство  $I_1/A_{11} + I_2/D_{11} = (I_2A_{11} + I_1D_{11})/(A_{11}D_{11})$ . С учетом этого получаем универсальное соотношение для  $\bar{A}_{11}$  и  $\bar{D}_{22}$

$$\bar{A}_{11}\bar{D}_{22} = A_{11}D_{11}, \quad (12)$$

справедливое независимо от локальных геометрических и материальных характеристик гофра.

С учетом (11) имеем

$$\bar{D}_{22} = I_2A_{11} + I_1D_{11} = (i_2A_{11}L^2/2 - D_{11}i_1)L + D_{11}L, \quad (13)$$

где

$$i_1(u) = \int_0^1 u^2(t) dt = 1 - \frac{I_1}{L}, \quad i_2(z) = \int_0^1 z^2(t) dt = \frac{2I_2}{L^3}. \quad (14)$$

Рассмотрим задачу о максимуме эффективной жесткости  $\bar{D}_{22}$ , с учетом (13), (14) сводящуюся к задаче о максимуме функционала

$$J = -D_{11}i_1 + i_2A_{11}L^2/2 \quad (15)$$

при выполнении ограничений (9), (10) и соотношения (5). Для того чтобы получить решение этой задачи, рассмотрим сначала функционал  $i_1(u)$ , затем — функционал  $i_2(z)$ .

**2. Возможные значения функционала  $i_1(u)$ .** Для определения возможных значений  $i_1(u)$  при ограничениях (9) рассмотрим функцию  $U = \{u(t) \in L_\infty(0, L): |u(t)| \leq 1\}$  и кривую, описываемую уравнением

$$\Gamma = \{(x, y): x = \sqrt{1 - v^2}, \quad y = v^2, \quad 0 \leq v \leq 1\} \subset \mathbb{R}^2. \quad (16)$$

Согласно [12] множество значений пары функционалов  $\int_0^1 \sqrt{1 - u^2(t)} dt$ ,  $\int_0^1 u^2(t) dt$  для функций  $u(t) \in U$  представляет собой выпуклую оболочку  $\text{conv } \Gamma$  кривой  $\Gamma$ . В переменных  $x, y$  уравнение кривой (16) записывается в виде  $\Gamma = \{(x, y): y = 1 - x^2, 0 \leq x \leq 1\}$ . Верхней и нижней границами выпуклой оболочки  $\text{conv } \Gamma$  являются линии  $y = 1 - x^2$  и  $y = 1 - x$ .

При выполнении (9), (10) число  $\alpha$  может являться значением функционала  $i_1(u)$  тогда и только тогда, когда точка  $(1/L, \alpha) \in \text{conv } \Gamma$ , т. е.  $m \leq \alpha \leq M$  ( $m, M$  — точки пересечения верхней и нижней границ области  $\text{conv } \Gamma$  с прямой  $x = 1/L$ ). Следовательно, при ограничениях (9), (10) функционал  $i_1(u)$  может принимать любые значения в интервале  $[1 - 1/L, 1 - 1/L^2]$ , а функционал  $I_1$  — любые значения в интервале  $[1/L, 1]$ .

**3. Задача о максимуме функционала  $i_2(z)$ .** Рассмотрим задачу

$$i_2(z) = \int_0^1 z^2(t) dt \rightarrow \max \quad (17)$$

при ограничениях (9), (10) и ограничении  $i_1(u) = \alpha$ , которое в силу (5) имеет вид

$$\int_0^1 u^2(t) dt = \alpha. \quad (18)$$

При этом  $1 - 1/L \leq \alpha \leq 1 - 1/L^2$ .

Используем принцип максимума Понтрягина [15]. Для задачи (17), (18), (9), (5) лагранжиан записывается в виде  $l(t, z, z', u) = \lambda_0 z^2 + \lambda_1 u^2 + \lambda_2 \sqrt{1 - u^2} + p(t)(z' - Lu/2)$ , а функция Понтрягина — в виде  $H(t, z, u, p) = Lpu/2 - \lambda_0 z^2 - \lambda_1 u^2 - \lambda_2 \sqrt{1 - u^2}$ .

В данном случае принцип максимума Понтрягина принимает следующий вид [15]: если  $\bar{z}(t)$ ,  $\bar{u}(t)$  — решение задачи (17), (18), (9), то найдутся множители Лагранжа  $\lambda_0 \geq 0$ ,  $\lambda_1$ ,  $\lambda_2$ ,  $p(t)$ , не все одновременно равные нулю и такие, что выполнены условие стационарности  $-p(t)' + 2\lambda_0 \bar{z} = 0$  и принцип максимума

$$Lp\bar{u}/2 - \lambda_0 \bar{z}^2 - \lambda_1 \bar{u}^2 - \lambda_2 \sqrt{1 - \bar{u}^2} = \max_{u \in U} (Lpu/2 - \lambda_0 \bar{z}^2 - \lambda_1 u^2 - \lambda_2 \sqrt{1 - u^2}). \quad (19)$$

Если  $\lambda_1 \neq 0$  или  $\lambda_2 \neq 0$ , то выполняется условие (18) или (9) соответственно.

Исключая слагаемое  $\lambda_0 \bar{z}^2$  из левой и правой частей (19), получаем

$$Lp\bar{u}/2 - \lambda_1 \bar{u}^2 - \lambda_2 \sqrt{1 - \bar{u}^2} = \max_{u \in U} (Lpu/2 - \lambda_1 u^2 - \lambda_2 \sqrt{1 - u^2}) = F^*(Lp/2), \quad (20)$$

где  $F(u) = \lambda_1 u^2 + \lambda_2 \sqrt{1 - u^2}$ ;  $F^*(p) = \max_{u \in U} (Lpu/2 - \lambda_1 u^2 - \lambda_2 \sqrt{1 - u^2})$  — функция, сопряженная с функцией  $F(u)$  [15]. В результате имеем задачу

$$-p(t)' + 2\lambda_0 \bar{z} = 0; \quad (21)$$

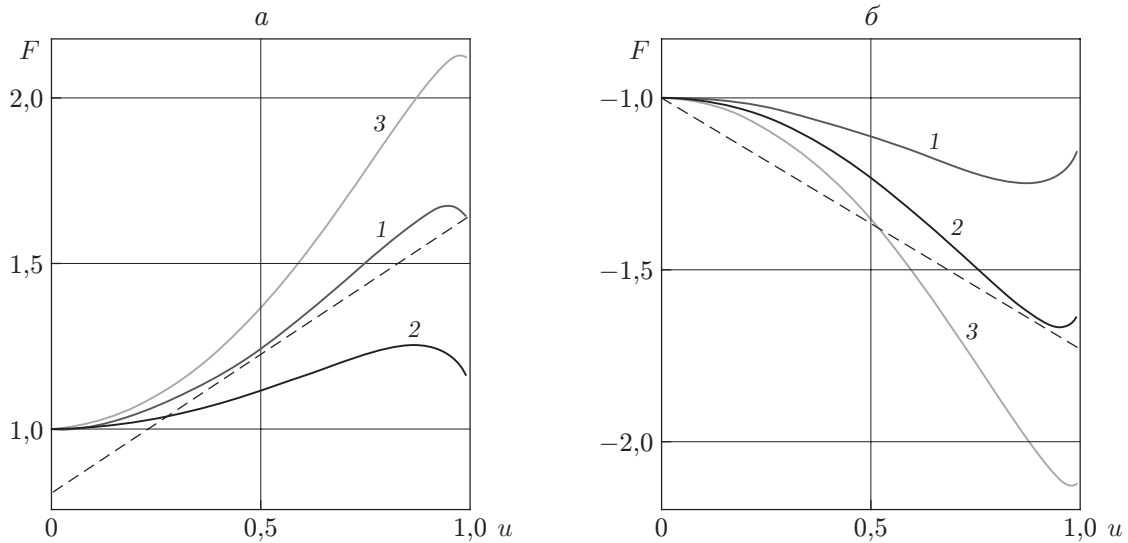


Рис. 2. Графики функции  $F(u)$  при различных значениях  $\lambda_1, \lambda_3$ :  
 а —  $\lambda_3 = 1$  (1 —  $\lambda_1 = 1$ , 2 —  $\lambda_1 = 1,5$ , 3 —  $\lambda_1 = 2$ ), б —  $\lambda_3 = -1$  (1 —  $\lambda_1 = -1$ , 2 —  $\lambda_1 = -1,5$ , 3 —  $\lambda_1 = -2$ ); штриховые линии — опорные функции

$$Lp\bar{u}/2 - \lambda_1\bar{u}^2 - \lambda_2\sqrt{1 - \bar{u}^2} = F^*(Lp/2); \tag{22}$$

$$\frac{dz}{dt}(t) = \frac{Lu(t)}{2} \tag{23}$$

с условиями (9), (10), (18).

Примем  $\lambda_0 = 0$ . Тогда в силу (21)  $p = \text{const}$ . Равенство (22) при  $p = \text{const}$  означает, что функция  $Lpu/2 + F^*(Lp/2)$  является опорной для функции  $F(u) = \lambda_1 u^2 + \lambda_3 \sqrt{1 - u^2}$ . График опорной функции может касаться графиков функции  $F(u)$  в одной или в двух точках (рис. 2). Координата  $u$  точки касания  $(u, F(u))$  графика опорной функции и графика функции  $F(u)$  является корнем уравнения (22). Значит, уравнение (22) имеет один или два корня.

При наличии двух корней возможны два случая (см. рис. 2). В первом случае (см. рис. 2,а) больший корень  $\bar{u}_2 = 1$ , а меньший корень  $\bar{u}_1$  может принимать любое значение в интервале  $(0, 1)$ . Во втором случае (см. рис. 2,б) меньший корень  $\bar{u}_1 = 0$ , а больший корень  $\bar{u}_2$  может принимать любое значение в интервале  $(0, 1)$ . Двух корней указанного типа достаточно, чтобы выполнялись условия (9), (18), но одного корня (22) недостаточно, чтобы выполнялись условия (9), (18).

Таким образом, решение  $\bar{u}(t)$  задачи (22), (23) с условиями (9), (10), (18) является одной из двух функций: либо  $u_a(t)$ , принимающей значения 1 и  $\bar{u}_2$ , либо  $u_b(t)$ , принимающей значения 0 и  $\bar{u}_2$ . Поэтому можно решать задачу (21)–(23), не используя методы оптимального управления [15]. Достаточно построить функции  $z_a(t)$  и  $z_b(t)$ , соответствующие  $u_a(t)$  и  $u_b(t)$ , и определить максимум функционала  $i_2(z)$  для  $z_a(t)$  и  $z_b(t)$ . Поскольку функции  $u_a(t)$  и  $u_b(t)$  являются кусочно-постоянными, функции  $z_a(t)$  и  $z_b(t)$  являются кусочно-линейными. Следовательно, можно показать, что максимум функционала в (17) реализуется на одной из функций  $u_a(t)$  и  $u_b(t)$ , приведенных на рис. 3. Функции  $u_a(t)$  и  $u_b(t)$  сначала определяются на интервале  $0 \leq t \leq 0,5$  для полуволны гофра. Профили гофра  $z_a(t)$  и  $z_b(t)$ , соответствующие функциям  $u_a(t)$  и  $u_b(t)$ , показанным на рис. 3, приведены на рис. 4. При  $0,5 < t \leq 1,0$  функции  $u_a(t)$  и  $u_b(t)$  определяются равенством  $u(t) = -u(1 - t)$ , что позволяет построить верхние  $(0 \leq t \leq 1)$  волны гофра. Нижние

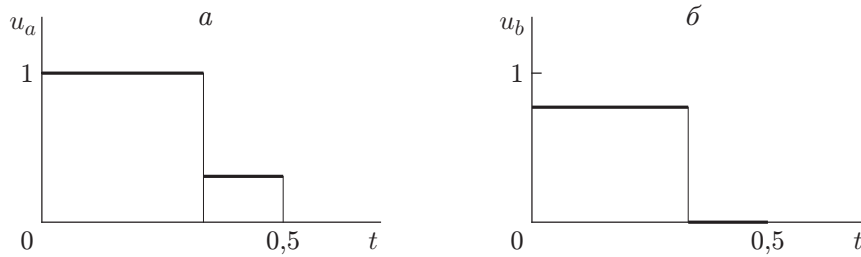


Рис. 3. Функции  $u_a(t)$  (а) и  $u_b(t)$  (б), на которых реализуется максимум функционала (17)

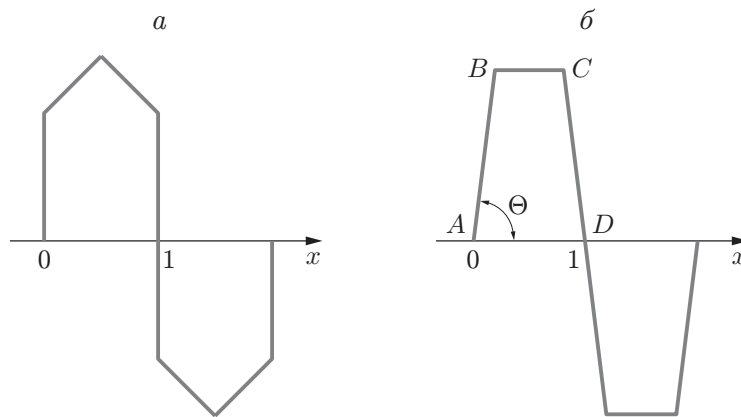


Рис. 4. Профили гофра, соответствующие решениям, приведенным на рис. 3,а (а) и рис. 3,б (б)

( $1 \leq t \leq 2$ ) волны гофра строятся путем отражения верхних волн гофра относительно оси  $z = 0$ .

Уравнения (9), (18) для функций вида  $u_a(t)$  и  $u_b(t)$  принимают вид

$$\lambda_1 \sqrt{1 - u_1^2} + \lambda_2 \sqrt{1 - u_2^2} = 1/L, \tag{24}$$

$$\lambda_1 u_1^2 + \lambda_2 u_2^2 = \alpha, \quad \lambda_1 + \lambda_2 = 1, \quad \lambda_1 \geq 0, \quad \lambda_2 \geq 0$$

( $u_1 = 1, u_2 = x \in [0, 1]$  для  $u_a(t)$  и  $u_1 = 0, u_2 = x \in [0, 1]$  для  $u_b(t)$ ).

Решение (24) зависит от параметра  $\alpha \in [1 - 1/L, 1 - 1/L^2]$ , поэтому и форма профилей гофра зависит от  $\alpha$ :  $z_a(t) = z_a(t, \alpha), z_b(t) = z_b(t, \alpha)$ . Максимум функционала  $i_2(z)$  равен максимуму функции  $F(\alpha) = \max(i_2(z_a(t, \alpha)), i_2(z_b(t, \alpha)))$ . Этот максимум достигается при некотором значении  $\alpha_0$  на функции  $z_a(t)$  или  $z_b(t)$  (или на обеих функциях).

Параметр  $\alpha$  меняется в интервале от  $1 - 1/L$  до  $1 - 1/L^2$ . Введем параметр  $\alpha^* = (\alpha - (1 - 1/L))/(1/L - 1/L^2)$ , меняющийся в интервале от 0 до 1.

Проведенные расчеты показывают, что при  $L \leq 1,02$  ( $c = 1$ ) график функции  $z_b(t)$  лежит ниже графика функции  $z_a(t)$  и максимум достигается для обеих функций при  $\alpha^* = 1$ . При этом гофр имеет П-образный профиль. При длине гофра  $L \geq 1,02$  абсолютный максимум функции  $F(\alpha)$  достигается на функции  $z_b(t)$  при  $\alpha^* = 1 - \delta$ . (Величина  $\delta$  показана на рис. 5 для кривой 2.)

В общем случае  $\delta = 1 - \alpha_0$ , где  $\alpha_0$  определяется из решения задачи

$$F(\alpha^*) \rightarrow \max, \quad \alpha \in [0, 1]. \tag{25}$$

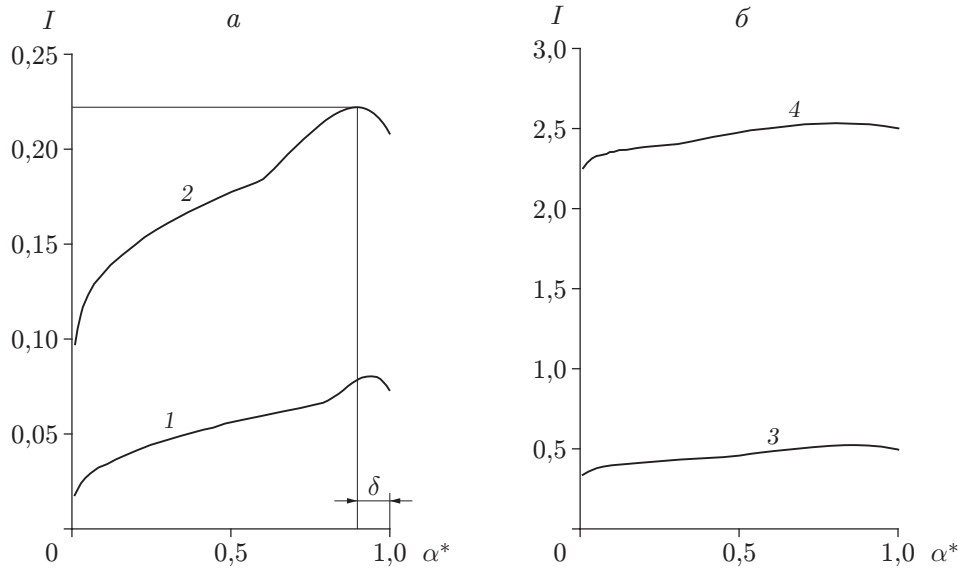


Рис. 5. Графики функции  $I(\alpha^*)$  при различных значениях  $L$ :  
 а — 1 —  $L = 1,2$ , 2 —  $L = 1,5$ ; б — 3 —  $L = 2$ , 4 —  $L = 4$

**4. Гофрированные пластины, полученные из однородной пластины постоянной толщины.** Проведем расчеты для пластины, полученной путем гофрирования пластины постоянной толщины  $h$  из однородного изотропного материала с модулем Юнга  $E$  и коэффициентом Пуассона  $\nu$ . В этом случае  $A_{ii} = Eh/(1 - \nu^2)$ ,  $D_{ii} = Eh^3/(12(1 - \nu^2))$  и функционал (15) принимает вид

$$J = \frac{Eh}{1 - \nu^2} \left( -\frac{1}{12} h^2 i_1 + i_2 \frac{L^2}{2} \right).$$

Введем следующие обозначения:

$$i(\alpha) = i_2(\alpha) \frac{L^2}{2} - \frac{1}{12} h^2 \alpha, \quad I(\alpha^*) = i(m + \alpha^* |Mm|). \tag{26}$$

На рис. 5 приведены графики функции  $I(\alpha^*)$  при  $h = 0,05$  и различных значениях  $L$ .

Функция  $I(\alpha^*)$  (26) зависит от  $h$ . Расчеты показали, что при изменении толщины  $h$  в интервале от 0,050 до 0,005 эта зависимость является очень слабой.

Вариация

$$V = \frac{\max I(\alpha^*) - \min I(\alpha^*)}{\max I(\alpha^*)}$$

функции  $I(\alpha^*)$  на отрезке  $[0, 1]$  характеризует возможные изменения изгибной жесткости  $\bar{D}_{22} = (i + D_{11})L/c$  вследствие изменения формы гофра. Напомним, что формула (13) записана для  $c = 1$ . На рис. 5 видно, что чем меньше длина волны гофра  $L$ , тем больше значение  $V$  (при  $L = 1,2$   $V = 0,78$ , при  $L = 4$   $V = 0,11$ ). Этот вывод справедлив при  $L > 1,02$  (заметим, что гофры с  $L < 1,02$  практически не используются).

**5. Алгоритм определения формы гофра с экстремальной жесткостью.** Сначала следует определить величину  $\delta$ , решив задачу (25). Для нахождения решения, при котором достигается максимум функции  $I(\alpha^*)$ , нужно решить задачи о представлении точки  $D = (1/L, 1 - 1/L^2 - \delta|I|)$  в виде выпуклой комбинации точек  $B = (1, 0)$  и  $X = (x, 1 - x^2)$  (точка  $X$  неизвестна, точки  $B$  и  $D$  известны). В результате получаем систему трех уравнений относительно трех неизвестных  $x, \lambda_1, \lambda_2$

$$\lambda_1 x + \lambda_2 = \frac{1}{L}, \quad \lambda_1(1 - x^2) = 1 - \frac{1}{L^2} - \delta \left( \frac{1}{L} - \frac{1}{L^2} \right), \quad \lambda_1 + \lambda_2 = 1, \tag{27}$$

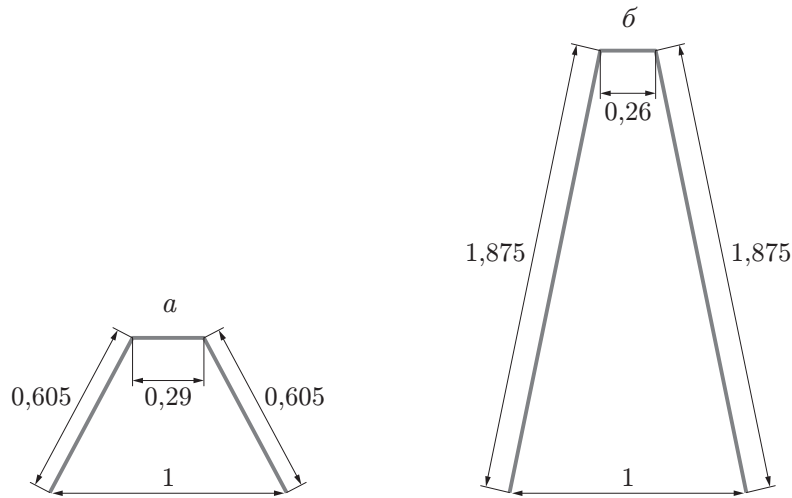


Рис. 6. Трапециевидные формы гофров:  
 $a - L = 1,5$ ,  $б - L = 4$

решение которой записывается в виде

$$x = \frac{1 - \delta}{L}, \quad \lambda_1 = \frac{L - 1}{L - 1 + \delta}, \quad \lambda_2 = \frac{\delta}{L - 1 + \delta}. \quad (28)$$

Вектор  $(\sqrt{1 - u^2}, u)$  — единичный вектор касательной к кривой  $G$  (см. рис. 1). Тогда для участка  $AB$  гофра на рис. 4,  $\delta \cos \Theta = \sqrt{1 - u^2}$ . Согласно (16)  $x = \sqrt{1 - u^2}$ , следовательно,  $\cos \Theta = x$ . С учетом (28) получаем

$$\Theta = \arccos \frac{1 - \delta}{L}. \quad (29)$$

Относительные длины наклонного  $AB$  и горизонтального  $BC$  участков гофра равны  $\lambda_2$  и  $\lambda_1$  соответственно, абсолютные значения их длин  $\lambda_2 L$  и  $\lambda_1 L$  равны

$$|AB| = \frac{(L - 1)L}{L - 1 + \delta}, \quad |BC| = \frac{\delta L}{L - 1 + \delta}. \quad (30)$$

Определим геометрические характеристики гофров с наибольшей жесткостью  $\bar{D}_{22}$ . Рассмотрим случай, когда общая длина гофра равна  $L = 1,5$  при длине периода  $c = 1$ . Решением задачи (25) при  $L = 1,5$  (для нахождения  $\delta$  можно использовать кривую 2 ( $L = 1,5$ ) на рис. 5) является значение  $\delta = 0,12$ . Определив  $\delta$ , из (29), (30) получаем  $\Theta = 54^\circ$ ,  $AB = 0,605$ ,  $BC = 0,290$ . Верхняя волна гофра при указанных значениях  $\Theta$ ,  $AB$ ,  $BC$  показана на рис. 6,а. При общей длине гофра  $L = 4$  и  $c = 1$  получаем  $\delta = 0,2$ . Из (29), (30) находим  $\Theta = 78^\circ$ ,  $AB = 1,875$ ,  $BC = 0,250$ . Верхняя волна гофра при указанных значениях  $\Theta$ ,  $AB$ ,  $BC$  показана на рис. 6,б.

В силу (12) спроектированные пластины обладают наименьшей жесткостью  $\bar{A}_{11}$ .

**Заключение.** На практике наибольший интерес представляют эффективные жесткости гофрированных пластин  $\bar{A}_{11}$  и  $\bar{D}_{22}$ , зависимость которых от характеристик гофра является достаточно сложной. Остальные эффективные жесткости либо выражаются явно через величины  $\bar{A}_{11}$  и  $\bar{D}_{22}$  (жесткости  $\bar{A}_{12}$ ,  $\bar{A}_{22}$ ,  $\bar{D}_{12}$ ), либо через величины  $L$  и  $c$  (жесткости  $\bar{A}_{66}$ ,  $\bar{D}_{11}$ ,  $\bar{D}_{66}$ ). Поэтому задача об экстремальных значениях всех эффективных жесткостей гофрированной пластины сводится к исследованию зависимостей жесткостей  $\bar{A}_{11}$  и  $\bar{D}_{22}$  от характеристик гофра. В силу соотношения (12) достаточно исследовать зависимость от характеристик гофра только жесткости  $\bar{A}_{11}$  или жесткости  $\bar{D}_{22}$ . В работе



приведен алгоритм определения геометрических характеристик гофрированных пластин, имеющих экстремальные значения эффективных жесткостей.

В большинстве случаев решение задачи об экстремальных значениях эффективных жесткостей гофрированной пластины сводится к определению параметров трапециевидного гофра.

## ЛИТЕРАТУРА

1. **Huber M. T.** Die theorie des kreuzweise bewehrten eisenbetonplatten // Bauingenieur. 1923. Bd 4. S. 354–360.
2. **Xia Y., Friswell M. I., Saavedra Flores E. I.** Equivalent models of corrugated panels // Intern. J. Solids Structures. 2012. V. 49, N 14. P. 1453–1462.
3. **Andrianov I. V., Diskovsky A. A., Kholod E. G.** Homogenization method in the theory of corrugated plates // Tech. Mech. 1998. Bd 18. S. 123–133.
4. **Buannic N., Cartraud P., Quesnel T.** Homogenization of corrugated core sandwich panels // Composite Structures. 2003. V. 59. P. 299–312.
5. **Архангельский А. Ф., Горбачев В. И.** Эффективные характеристики гофрированных пластин // Изв. РАН. Механика твердого тела. 2007. № 3. С. 137–155.
6. **Talbi N., Batti A., Ayad R., Guo Y. Q.** An analytical homogenization model for finite element modelling of corrugated cardboard // Composite Structures. 2009. V. 88. P. 280–289.
7. **Bartolozzi G., Pierini M., Orrenius U., Baldanzini N.** An equivalent material formulation for sinusoidal corrugated cores of structural sandwich panels // Composite Structures. 2013. V. 100. P. 173–185.
8. **Ye Z., Berdichevsky V. L., Yu W.** An equivalent classical plate model of corrugated structures // Intern. J. Solids Structures. 2014. V. 51, N 11/12. P. 2073–2083.
9. **Колпаков А. Г., Ракин С. И.** Расчет эффективных жесткостей гофрированной пластины путем решения задачи на поперечном сечении пластины // ПМТФ. 2016. Т. 57, № 4. С. 211–223.
10. **Bendsøe M. P.** Optimization of structural topology, shape and material. Heidelberg: Springer, 1995.
11. **Kolpakov A. A.** Design of laminated plate possessing the required stiffnesses using the minimal number of materials and layers // J. Elasticity. 2007. V. 86. P. 245–261.
12. **Аннин Б. Д.** Расчет и проектирование композиционных материалов и элементов конструкций / Б. Д. Аннин, А. Л. Каламкаров, А. Г. Колпаков, В. З. Партон. Новосибирск: Наука. Сиб. издат. фирма, 1993.
13. **Хог Э.** Анализ чувствительности при проектировании конструкций / Э. Хог, К. Чой, В. М. Комков. М.: Мир, 1988.
14. **Колпаков А. Г.** К определению усредненных характеристик упругих каркасов // Прикл. математика и механика. 1985. Т. 49, вып. 6. С. 969–977.
15. **Алексеев В. М.** Оптимальное управление / В. М. Алексеев, В. М. Тихомиров, С. В. Фомин. М.: Наука, 1979.

*Поступила в редакцию 10/V 2016 г.*